

УДК 539.4; 620.22

© 2011 г. Думанский А.М., Таирова Л.П., Горлач И., Алимов М.А.

РАСЧЕТНО-ЭКСПЕРИМЕНТАЛЬНОЕ ИССЛЕДОВАНИЕ НЕЛИНЕЙНЫХ СВОЙСТВ УГЛЕПЛАСТИКА

Предложен расчетно-экспериментальный метод оценки и прогнозирования нелинейного деформирования однонаправленного и слоистого углепластика с разными углами укладки слоев при квазистатическом нагружении. Упругие свойства слоя были определены по результатам испытаний перекрестно армированных плоских образцов при растяжении. Предполагалось, что нелинейность слоя и пакета из слоев уложенных под разными углами определяется нелинейным деформированием слоя при сдвиге в плоскости слоя, которое описывалось с помощью кусочно-линейной аппроксимации. Для построения определяющих соотношений пакета использовалась теория слоистых пластин. Проведенные исследования показали удовлетворительное согласие расчетных и экспериментальных данных.

Углепластик благодаря комплексу уникальных физико-механических свойств эффективно применяется в элементах конструкций ракетно-космического и авиационного назначения. Обычно материал и конструкция проектируются одновременно, поэтому прогнозирование механического поведения слоистого материала, основанное на свойствах слоя, представляется актуальным. Поскольку соотношения классической теории слоистых пластин не позволяют описывать наблюдающиеся в эксперименте нелинейные эффекты необходима разработка надежных расчетно-экспериментальных методов описания экспериментальных методов описания закономерностей деформирования слоистых сред. Разработке такого метода и посвящена настоящая статья.

В ряде работ [1–8] отмечается, что нелинейные свойства углепластика в значительной степени связаны с нелинейностью свойств при сдвиге в плоскости слоя. В качестве тестовых испытаний для определения характеристик упругости и прочности однонаправленного слоя часто используются испытания образцов с перекрестной структурой армирования. При растяжении таких образцов из углепластика наибольшая степень нелинейности связи напряжений с деформациями характерна для структуры $\pm 45^\circ$, что объясняется возникновением максимальных сдвиговых деформаций в плоскости слоя для этой структуры [4–5].

Отметим одно важное обстоятельство, заключающееся в том, что свойства слоев, определенные при испытании однонаправленных образцов, не вполне адекватно описывают характеристики упругости слоистых структур. Это объясняется тем, что микроструктуры (микропористость, искривления волокон и т.д.) однонаправленного материала и композита с различными углами укладки слоев несколько отличаются. Разработке методов идентификации упругих характеристик слоя по результатам испытаний слоистых композитов посвящен ряд работ, в частности [6].

Если считать причиной нелинейности деформирования композита нелинейность связи касательных напряжений τ_{12} и деформаций γ_{12} сдвига в плоскости слоя, то становится актуальной задача определения $\tau_{12}(\gamma_{12})$ с учетом диаграмм деформирования

композита с различными схемами армирования. Такая задача рассматривается в [4, 7, 8]. В работе [7] на основании решения обратной краевой задачи растяжения перекрестно армированного углепластика показано, что нелинейные участки диаграммы деформирования при сдвиге в плоскости слоя различны для каждой укладки слоев.

Характеристики упругости и прочности однонаправленного слоя являются основой для построения критериев предельного состояния слоистых композитов и элементов конструкций из них. В частности, все 19 моделей деформирования и разрушения слоистых композитов, рассматриваемых в проекте WWFE (World Wide Failure Exercise) [9], в качестве исходных данных используют свойства однонаправленного слоя. В 12 из этих моделей предлагаются варианты учета нелинейных свойств слоистых композитов, что позволяет более точно описать механическое поведение слоистых материалов учесть перераспределение напряжений в слоях в процессе нагружения.

В моделях WWFE не учитывалась зависимость процессов деформирования и разрушения от времени, хотя в ряде случаев такая зависимость позволяет описать ряд важных особенностей деформирования и разрушения, проявляющихся даже при квазистатических испытаниях. Число работ такого рода увеличивается, упомянем лишь работы [10–12], в которых соотношения теории слоистых пластин используются для определения вязкоупругого поведения слоистых углепластиков. Включение фактора времени дает возможность расчета и прогнозирования характеристик длительного деформирования и разрушения композитных элементов, в частности, при усталостном разрушении.

В настоящей статье рассмотрен подход, базирующийся на соотношениях теории слоистых пластин, позволяющий на основе нелинейного деформирования слоя описывать нелинейное деформирование многослойного композита. В дальнейшем предполагается распространить этот подход на описание деформирования многослойных композитов с учетом фактора времени.

В качестве характеристик упругости ортотропного слоя будем использовать: E_1 , E_2 , – модули упругости вдоль и поперек волокон соответственно; G_{12} – модуль сдвига; ν_{12} – коэффициент Пуассона (оси 1 и 2 лежат в плоскости армирования, второй коэффициент Пуассона определяется соотношением $\nu_{21} = (E_2/E_1)\nu_{12}$, оси Ox и Oy – оси ортотропии пакета).

Выражение для связи деформаций и напряжений в соответствии с [14, гл. 8] можно записать в матричной форме

$$\{\varepsilon_{xy}\} = [S_{xy}]\{\sigma_{xy}\}, \quad (1)$$

где $\{\varepsilon_{xy}\} = \{\varepsilon_x \varepsilon_y \gamma_{xy}\}^T$, $\{\sigma_{xy}\} = \{\sigma_x \sigma_y \tau_{xy}\}^T$ – столбцы деформаций и напряжений; $[S_{xy}]$ – матрица податливостей пакета.

Для одноосного нагружения ортотропного материала соотношения (1) можно переписать в виде

$$\begin{Bmatrix} \varepsilon_x \\ \varepsilon_y \\ 0 \end{Bmatrix} = \begin{bmatrix} s_{xx} & s_{xy} & 0 \\ s_{xy} & s_{yy} & 0 \\ 0 & 0 & s_{ss} \end{bmatrix} \begin{Bmatrix} \sigma_x \\ 0 \\ 0 \end{Bmatrix}. \quad (2)$$

Для иллюстрации возможностей предлагаемого подхода были взяты результаты испытаний на одноосное растяжение плоских образцов из перекрестно армированного углепластика шириной 20 мм и длиной 250 мм [13]. При испытаниях проводили измерение деформаций в продольном и поперечном направлениях. Продольные деформации измеряли тремя тензодатчиками, поперечные – двумя. при получении диаграммы деформирования показания одинаково направленных датчиков усредняли. Были испытаны перекрестно армированные структуры с углами укладки относительно продольной оси образца 0° , $\pm 20^\circ$, $\pm 40^\circ$, $\pm 50^\circ$, $\pm 70^\circ$, 90° , а также структуры с тремя направ-

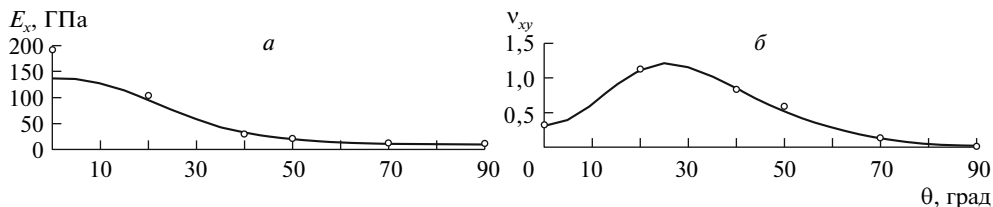


Рис. 1. Зависимости модуля упругости (а) и коэффициента Пуассона (б) от угла укладки перекрестно армированного углепластика (точки – эксперимент, линии – расчет)

лениями укладки волокон. Наибольшую нелинейность диаграммы напряжение–деформации показали образцы со структурой $\pm 40^\circ$ и, в несколько меньшей степени, $\pm 50^\circ$, что подтверждает предположение, что нелинейность механических свойств композита с различными углами укладки слоев определяется в основном нелинейностью свойств слоя при сдвиге.

В качестве исходных характеристик слоя были взяты следующие значения: $E_1 = 136,5$ ГПа, $E_2 = 11,1$ ГПа, $G_{12} = 7,5$ ГПа, $\nu_{12} = 0,31$. Сравнение вычисленных по этим характеристикам модулей упругости и коэффициентам Пуассона для всех структур $\pm\theta$ с экспериментально определенными значениями показано на рис. 1.

Вид диаграмм деформирования для структур 0° и 90° позволяет предположить, что в главных направлениях ортотропии слоя модуль упругости и коэффициенты Пуассона остаются постоянными вплоть до разрушения.

Рассмотрим порядок построения диаграммы деформирования однонаправленного слоя при сдвиге с учетом нелинейной связи касательных напряжений с деформациями сдвига по результатам испытаний на растяжение образцов с укладками $\pm 40^\circ$, $\pm 50^\circ$.

На основании гипотезы теории слоистых пластин о равенстве деформаций всех слоев при плоском напряженном состоянии, значения сдвиговой деформации γ_{12} в слое θ можно вычислить с помощью соотношения [14] $\{\varepsilon_{12}\} = [T_1^\theta]\{\varepsilon_{xy}\}$, где XOY – оси ортотропии пакета, $\{\varepsilon_{xy}\}$ – экспериментально измеренные значения, $[T_1^\theta]$ – матрица преобразования деформации при повороте осей координат.

Напряжения относительно осей ортотропии слоя в соответствии с обозначениями [14] вычисляли с помощью соотношения

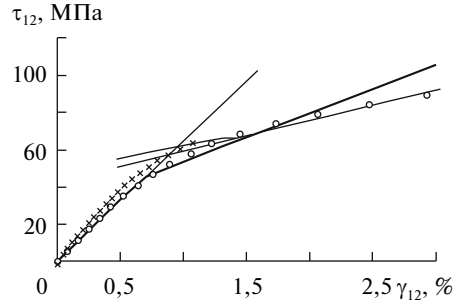
$$\{\sigma_{xy}^\theta\} = [\bar{G}_{xy}^\theta][S_{xy}]\{\sigma_{xy}\}, \quad (3)$$

где $[\bar{G}_{xy}^\theta]$ – матрица жесткости слоя относительно Oxy ; $\{\sigma_{xy}\}$ – вектор внешних напряжений, при одноосном нагружении имеющий одну ненулевую компоненту σ_x .

Соотношение (3) справедливо только на начальном линейном участке деформирования, но в качестве первого приближения используем его для определения значений секущего модуля сдвига g_{66}^0 (по опытным данным для структур $\pm 40^\circ$, $\pm 50^\circ$). При этом в качестве элементов матрицы $[\bar{G}_{xy}^\theta]$ будем использовать значения секущих модулей упругости для каждой точки экспериментально определенных диаграмм деформирования. Полученные расчетные диаграммы деформирования при сдвиге в плоскости слоя и возможная аппроксимация такой диаграммы приведены на рис. 2.

При реализации алгоритма расчета диаграмм деформирования любой произвольной структуры используем аппроксимацию диаграммы деформирования при сдвиге с помощью двух линейных участков (рис. 2). При этом принимаем значение деформации сдвига, при которой происходит изменение модуля сдвига, $\gamma_{12}^* = 0,7\%$. Ана-

Рис. 2. Расчетно-экспериментальные значения кривых деформирования при сдвиге: кружки получены по диаграмме деформирования вдоль оси нагружения структуры $\pm 40^\circ$, крестики – по данным структуры $\pm 50^\circ$; сплошная линия – аппроксимация расчетно-экспериментальных данных



литическую зависимость модуля сдвига от деформации можно представить следующим образом:

$$g_{66}(\gamma_{12}) = g_{66}^0 - (g_{66}^0 - g_{66})H(\gamma_{12} - \gamma_{12}^*), \quad (4)$$

где g_{66} – скорректированное с учетом нелинейности значение модуля сдвига; функция Хевисайда $H(x) = 1$ при $x \geq 0$ и равна нулю при $x < 0$.

Далее возможны два варианта построения диаграмм многослойных пакетов. В первом случае проводим вычисление деформаций по заданным значениям внешней нагрузки, во втором – по заданным деформациям осуществляется расчет соответствующим им напряжений.

Для вычисления деформации при известных значениях нагрузки в соответствии с формулой (1) необходимо вычисление зависящих от γ_{12} компонент матрицы податливости.

Для получения выражения матрицы податливости, удобного для преобразований с учетом (4), представим матрицу жесткости слоя в следующем виде

$$[G_{12}] = \begin{pmatrix} g_{11}^0 & g_{12}^0 & 0 \\ g_{12}^0 & g_{22}^0 & 0 \\ 0 & 0 & g_{66}^0 H(\gamma_{12}) \end{pmatrix} - \begin{pmatrix} 0 & 0 & 0 \\ 0 & 0 & 0 \\ 0 & 0 & (g_{66}^0 - g_{66})H(\gamma_{12} - \gamma_{12}^*) \end{pmatrix}. \quad (5)$$

В матричном виде (5) можно записать следующим образом:

$$[G_{12}] = [G_{12}^0] - [G_0]f, \quad (6)$$

где $f = (g_{66}^0 - g_{66})H(\gamma_{12} - \gamma_{12}^*)$ – множитель матрицы $[G_0]$, имеющей лишь один ненулевой член.

Матрица жесткости пакета формируется в соответствии с соотношениями теории слоистых пластин [14]

$$[G_{xy}] = \sum_k [T_1^{(k)}][G_{12}][T_1^{(k)}]^T \bar{h}^{(k)}, \quad (7)$$

$$[T_1^{(k)}] = \begin{pmatrix} c^2 & s^2 & -2sc \\ s^2 & c^2 & 2sc \\ sc & -sc & c^2 - s^2 \end{pmatrix} - \text{матрица преобразования элементов матрицы жесткости}$$

при повороте осей координат; $s = \sin\theta$, $c = \cos\theta$, $\bar{h}^{(k)} = h^{(k)}/H$ – относительная толщина на k -го слоя; индекс T означает транспонирование матрицы.

Подставляя выражение матрицы жесткости (6) в (7), получаем

$$[G_{xy}] = [G_{xy}^0] - [G]f, \quad (8)$$

где $[G_{xy}^0] = [T_1^{(k)}][G_{12}^0][T_1^{(k)T}]$, $[G] = [T_1^{(k)}][G_0][T_1^{(k)T}]$.

Для определения деформаций будем использовать выражение (1). Для получения матрицы податливости проведем обращение матрицы жесткости (8) с помощью ряда матричных преобразований

$$[S_{xy}] = [[G_{xy}^0][[I] + [G_{xy}^0]^{-1}[G]f]^{-1}]^{-1} = [[I] + [G_{xy}^0]^{-1}[G]f]^{-1}[G_{xy}^0]^{-1}, \quad (9)$$

где $[I]$ – единичная матрица.

Отметим, что при отсутствии нелинейности диаграммы деформирования при сдвиге ($f = 0$), полученные выражения вырождаются в обычные соотношения линейной теории пластин.

Обращение матрицы жесткости $[G_{xy}^0]^{-1} = [S_{xy}^0]$ есть обращение обычной числовой матрицы, что не представляет трудности; более сложной задачей является обращение функциональной части выражения (9). Это выражение при некоторых ограничениях можно разложить в ряд

$$[I - Af]^{-1} = I + Af + (Af)^2 + \dots, \quad \text{где } [A] = [G_{xy}^0]^{-1}[G]. \quad (10)$$

Ряд в (10) будет сходиться при выполнении некоторых условий связанных с нормой матричного выражения $[A]f$, а именно $\|[A]f\| < 1$.

Для получения явного вида ряда в (10) проведем диагонализацию матрицы $[A] = [R][D][R]^{-1}$ и подставим это в ряд (1)

$$I + Af + (Af)^2 + \dots = R(I + Df + (Df)^2 + \dots)R^{-1}, \quad (11)$$

где матрица R составлена из столбцов нормированных собственных векторов матрицы A , а матрица $D = \text{diag}(\lambda_1 \lambda_2 \lambda_3)$ – диагональная матрица собственных значений матрицы A .

Диагональную матрицу в скобках выражения (11) можно свернуть следующим образом:

$$I + Df + (Df)^2 + \dots = \text{diag}(1 + \lambda_i f + (\lambda_i f)^2 + \dots) = \text{diag}\left(\frac{1}{1 - \lambda_i f}\right),$$

где λ_i – собственные значения матрицы $[A]$.

С учетом проведенных преобразований выражение для матрицы податливости (9) принимает вид

$$[S_{xy}] = [R] \text{diag}\left(\frac{1}{1 - \lambda_i f}\right) [R]^{-1} [S_{xy}^0]. \quad (12)$$

Матрица податливости является функцией от сдвиговой деформации.

Для проверки предложенного подхода проведем сравнение расчетных и экспериментальных значений деформации для некоторых структур.

Расчет проводили по схеме пошагового накопления деформаций с ростом нагрузки $\varepsilon_x^{(i+1)} = \varepsilon_x^{(i)} + s_{xx}^{(i)}(\sigma_x^{(i+1)} - \sigma_x^{(i)})$, где i – индекс массива напряжений. соответствующего экспериментальным значениям. Подобное выражение будет справедливо и для поперечных деформаций ε_y . Сравнение расчетных и экспериментальных данных приведено на рис. 3, а. Различие между экспериментальными и расчетными значениями

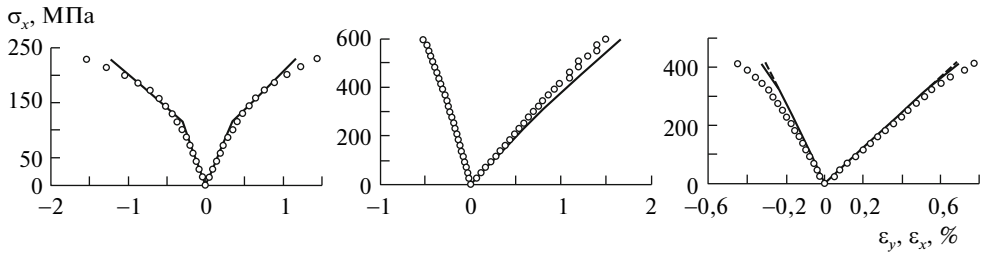


Рис. 3. Расчетные и экспериментальные диаграммы деформирования углепластика со структурой $\pm 40^\circ$ (а), и со структурой $0/\pm 60^\circ_2$ (б), и со структурой $90/\pm 30^\circ_2$ (в); штриховая линия – упругий расчет

объясняется приближенным характером аппроксимации диаграммы деформирования при сдвиге (рис. 2).

При построении диаграмм деформирования необходимо контролировать уровень сдвиговых деформаций в слоях пакета и при превышении порогового значения корректировать матрицы податливости или жесткости. При одноосном нагружении напряжение, при котором происходит изменение компонент матрицы податливости, вычисляем с помощью выражения $\sigma_x^* = |\gamma_{12}^*/2sc(s_{xx} - s_{xy})|$.

Результаты расчета кривых деформирования для структур $0/\pm 60^\circ_2$ и $90/\pm 30^\circ_2$ и их сопоставление с опытными данными приведены на рис. 3, б и в. Напряжения, при которых происходит переход кривых деформирования на нелинейный участок, оказались равными 243 и 340 МПа соответственно. Изменение матриц податливости после выхода деформаций сдвига на нелинейный участок оказалось незначительным, поэтому диаграммы деформирования рассматриваемых структур близки к линейным.

Следует отметить, что на точность прогнозирования существенное влияние оказывают значения характеристик упругости слоя и пороговое значение сдвиговой деформации.

Аппроксимацию диаграммы деформирования слоя при сдвиге в плоскости слоя и в общем случае можно провести с использованием нескольких (более двух) линейных участков, либо с помощью какой-либо гладкой функции. Предложенный подход позволяет учитывать влияние других факторов, таких как упрочнение, накопление повреждений и время нагружения.

СПИСОК ЛИТЕРАТУРЫ

1. Работнов Ю.Н., Гуняев Г.М., Кузнецова М.А. и др. нелинейные зависимости напряжение деформация для углепластиков при непрерывном статическом нагружении // Механика полимеров. 1976. № 1. С. 49–53.
2. Лагас П.А. Нелинейный характер зависимости “напряжение–деформация” для слоистых графитоэпоксидных пластиков // Аэрокосмическая техника. 1985. № 4. С. 102–111.
3. Зиновьев П.А., Песошников Е.М., Попов Б.Г., Таирова Л.П. Экспериментальное исследование некоторых особенностей деформирования и разрушения слоистого углепластика // Механика композитных материалов. 180. № 2. С. 241–245.
4. Petit P.H., Waddoups M.E. A method of predicting the nonlinear behavior of laminated composites // J. Compos. Mat-s. V. 3. January 1969. P. 2–19.
5. Rotem A., Hashin Z. Failure modes of angle ply laminates // J. Compos. Mat-s. V. 9. April. 1975. P. 191–206.

6. Алфутов Н.А., Зиновьев П.А., Таирова Л.П. Идентификация упругих характеристик однонаправленных материалов по результатам испытаний многослойных композитов // Расчеты на прочность. Вып. 30. М.: Машиностроение, 1989. С. 16–31.
7. Кравченко О.Л., Вильдеман В.Э. Моделирование неупругого деформирования перекрестно армированных слоистых композитов // Математическое моделирование систем и процессов. 1997. № 5. С. 49–55.
8. Hahn H.T., Tsai S.W. Nonlinear Elastic Behavior of Unidirectional Composite Laminae // Journal of Composite Materials. 1973. V. 7. P. 102–118.
9. Soden P.D., Kaddour A.S., Hinton M.J. Recommendations for designers and researchers resulting from the world-wide failure exercise // Composite Science and Tehnology. 2004. V. 64. P. 589–604.
10. Korontzis D.Yh., Vellios L., Kostopoulos V. On the viscoelastic response of composite laminates // Mechanics. of Time-Dependent Materials. 2000. V. 4. P. 381–405.
11. Dumansky A.M., Tairova L.P. The prediction of viscoelastic properties of layered composites on example of cross ply carbon reinforced plastic // World Congress on Engineering 2007. V. II. London, UK 2–4 July, 2007. P. 1346–1351.
12. Dumansky A.M., Tairova L.P. Construction of hereditary constitutive equations of composite laminates // Proceedings of the Second International Conference on Heterogeneous Material Mechanics “Advances in heterogeneous Material Mechanics”. June 3–8, Huanshan, China. DEStech Publications, Inc. 2008. P. 934–937.
13. Думанский А.М., Таирова Л.П., Смердов А.А. Экспериментальное исследование деформативных и прочностных характеристик углепластика на плоских и трехслойных образцах // Научные материалы Второй междунар. н.-практич. конф. “Аэрокосмические технологии”. М.: Изд-во МГТУ им. Н.Э. Баумана, 2009. С. 245–246.
14. Композиционные материалы. Справочник / Под ред. В.В. Васильева, Ю.М. Тарнопольского. М.: Машиностроение, 1990. 512 с.

Москва

Поступила в редакцию 28.II.2011

После доработки 11.V.2011